## 三氯化铁分光光度法 测定药物中亚甲基二膦酸

王 宁,陈孟毅,付 博,宋志浩,张蕴瀚,胡 骥,

原子高科股份有限公司,北京 102413

摘要:通过三氯化铁与亚甲基二膦酸形成络合物,采用分光光度法,建立了注射用亚锡亚甲基二膦酸盐冻干药 盒中亚甲基二膦酸含量的测定方法。结果表明,亚甲基二膦酸质量浓度在  $0.02\sim0.08$  g/L 范围内与吸光度 A 呈良好线性关系,线性回归方程 y=14.61x+0.029 7,线性相关系数 r=0.999 1。加标回收率为  $98.8\%\sim102.0\%$ ,相对标准偏差为 0.97%(n=6)。该方法可用于快速准确地测定注射用亚锡亚甲基二膦酸盐冻干药 盒中亚甲基二膦酸的含量。

关键词:分光光度法;三氯化铁;亚甲基二膦酸

中图分类号: O657.32 文献标志码: A 文章编号: 0253-9950(2020)02-0111-05

doi:10.7538/hhx.2019. YX.2018108

# Spectrophotometric Determination of Methylene Diphosphonate in Pharmaceutical Samples via Complex Formation With Iron( ) Chloride

WANG Ning, CHEN Meng-yi, FU Bo, SONG Zhi-hao, ZHANG Yun-han, HU Ji\*

HTA. CO. LTD., Beijing 102413, China

Abstract: A novel spectrophotometric method for the determination of methylene diphosphonate in a stannous methylene diphosphonate kit via complex formation with iron( $\mathbb{I}$ ) chloride was established. The results show that the absorbance of complex obeys the Lambert-Beer law in the range of methylene diphosphonate mass concentration of 0.02-0.08 g/L, and the linear regression equation is y=14.61x+0.029 7, with the correlation coefficient of 0.999 1. The recoveries are 98.8%-102.0%, and the relative standard deviation is 0.97% (n=6). The proposed method is rapid, simple and sensitive, and therefore can be applied for routine analyses and quality control of methylene diphosphonate in its lyophilized kit.

**Key words:** spectrophotometric; iron( III ) chloride; methylene diphosphonate

亚甲基二膦酸(MDP)是二膦酸类药物,是 注射用亚锡亚甲基二膦酸盐冻干药盒的主要成 分。MDP 经<sup>99</sup> Tc<sup>m</sup>-标记后的锝[<sup>99</sup> Tc<sup>m</sup>]亚甲基二 膦酸盐注射液主要用于全身或局部骨显像,诊 断骨关节疾病、原发或转移性骨肿瘤病等[1-3];经<sup>99</sup>Tc-标记后的得[<sup>99</sup>Tc]亚甲基二膦酸盐注射液为类风湿性关节炎治疗药物,具有消炎、镇痛等作用<sup>[4-5]</sup>。2015 版药典收录的 MDP含量分析方法<sup>[6]</sup>是一种间接测定方法,先将有机膦转变为无机磷后,进行无机磷含量测定,再用总无机磷量减去转化前的无机磷量后计算得到,操作繁琐,耗时长。因此,开发简单、准确、快速的MDP含量测定方法对药品生产中质量控制具有重要意义。

MDP 结构中无生色团,极性较强,在反相柱 上很难保留。同时,冻干药盒中的氯化亚锡具 有较强的还原性和紫外吸收,易干扰 MDP 的含 量测定。双膦酸类药物的质量控制方法有重量 分析法[7]、酸碱滴定法[8]、电位滴定法[9-10]、分光 光度法[11-12]、柱前或柱后衍生反相高效液相色 谱法[13-14]、离子交换高效液相色谱法[15]、离子色 谱法[16]、反相离子对高效液相色谱法[17-19]等方 法。其中重量分析、滴定方法操作繁琐,准确度 不足,且结果易受共存物影响;现有的分光光度 法多需要进行多步的处理或长时间的络合反 应,不够简单快速;高效液相色谱法具有同时分 离 MDP 相关物质的优点,但设备昂贵,对仪器、 操作要求较高。本研究根据三氯化铁与 MDP 形成络合物的现象[20],研究利用分光光度法测 定 MDP 含量的方法。

### 1 实验部分

### 1.1 仪器与试剂

UV2700 紫外可见分光光度计,日本岛津公司;MS105 电子天平,精度 0.01 mg,梅特勒托利 多公司。

亚甲基二膦酸标准品,欧洲委员会,欧洲药典参考标准;注射用亚锡亚甲基二膦酸盐,原子高科股份有限公司;六水合三氯化铁,分析纯,国药集团药业股份有限公司;高氯酸,北京化工厂,纯度70%~72%;所用水为纯化水。

2 mol/L 高氯酸溶液:使用 25 mL 移液管精密量取高氯酸 16.24 mL 溶解于 100 mL 水。20 mmol/L六水合三氯化铁的高氯酸溶液:精密称定六水合三氯化铁 0.54 g,用 2 mol/L 高氯酸溶液溶解定容于 100 mL 容量瓶。1 g/L MDP 标准品溶液:取 20 mg MDP 标准品,10.00 mL 水溶解,取 5.00 mL 定容于 10 mL 容量瓶。

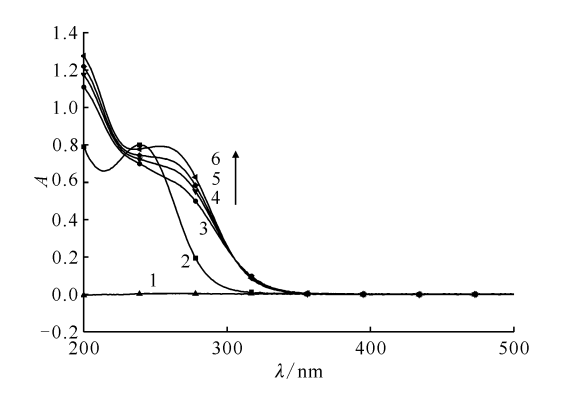
### 1.2 实验方法

取 0.25 mL 1 g/L MDP 标准溶液,加入0.50 mL 三氯化铁的高氯酸溶液,定容至 5 mL。以试剂为空白,使用 10 mm 光程、3.5 mL 标准比色皿,于波长 300 nm 处测定吸光度。

### 2 结果与讨论

### 2.1 吸收光谱

以高氯酸溶液为空白,波长范围 200~500 nm,对 MDP 溶液、三氯化铁的高氯酸溶液及 MDP 与三氯化铁高氯酸溶液混合液进行吸收光谱扫描,结果示于图 1。由图 1 看出, MDP 无吸收,三氯化铁在 239 nm 处有最大吸收,三氯化铁与 MDP 络合物在 260 nm 处最大吸收。300 nm 处络合物吸收峰受三氯化铁吸收影响较小,选择 300 nm 为测定波长。



1---MDP,2---三氯化铁高氯酸溶液,

3---0.1 mmol/L MDP+0.2 mmol/L FeCl<sub>3</sub>,

4---0.4 mmol/L MDP+0.2 mmol/L FeCl<sub>3</sub>,

5——0.6 mmol/L MDP+0.2 mmol/L FeCl $_3$ ,

6---1.0 mmol/L MDP+0.2 mmol/L FeCl<sub>3</sub>

图 1 MDP 溶液、三氯化铁溶液及 不同浓度混合样品溶液吸收光谱

Fig. 1 Absorption spectra of MDP, FeCl<sub>3</sub> and mix samples of different concentrations

# 2.2 络合物化学计量比、稳定常数及三氯化铁用量的选择

保持三氯化铁浓度恒定为 0.2 mmol/L, MDP 浓度分别为 0、0.02、0.03、0.05、0.10、0.15、0.20、0.25、0.30 mmol/L 时测量混合样品溶液在 300 nm 处的吸收,结果示于图 2。由图 2结果得到,三氯化铁与 MDP 反应的摩尔比约为1:1,在实际测量样品中 MDP 浓度为 0.2~0.3 mmol/L,为保持三氯化铁过量,并减小三氯

化铁浓度对测定结果的影响,选择三氯化铁浓度为 2 mmol/L。同时,为防止 Fe<sup>3+</sup>水解,在溶液中加入高浓度的高氯酸。

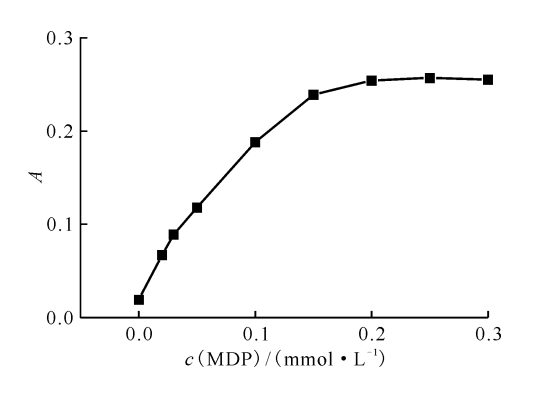


图 2 MDP 浓度对吸光度的影响 Fig. 2 Effect of MDP molarity on absorbance

保持三氯化铁与 MDP 浓度之和恒定为 1 mmol/L, c (Fe³+)/(c (MDP) + c (Fe³+)) 为 0.1、0.2、0.3、0.4、0.5、0.6、0.7、0.8、0.9 时测定混合样品溶液的吸光度值,结果示于图 3。根据 Job's plot 法测定络合物稳定常数,解离度  $\alpha = \frac{A_{\text{max}} - A}{A_{\text{max}}}$ ,稳定常数  $K = \frac{1 - \alpha}{c \, (\text{MDP-Fe³+})\alpha^2}$ ,计算得 到稳定常数  $K = 1.89 \times 10^5 \, \text{L/mol}$ ,表明 Fe³+与 MDP 形成的络合物具有较好的稳定性。

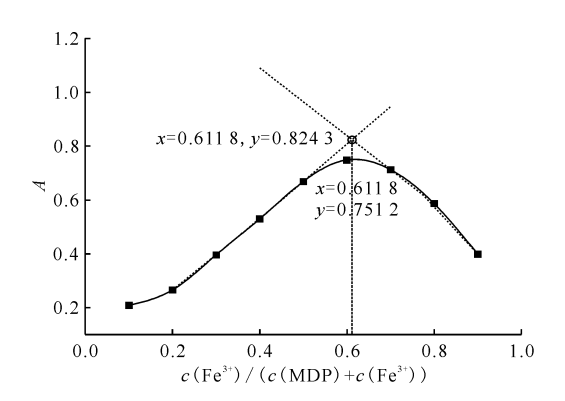


图 3 在 0.2 mol/L 高氯酸中 MDP-Fe<sup>3+</sup> 络合物等摩尔溶液的约伯曲线

Fig. 3 Job's curve of equimolar solutions for MDP-Fe<sup>3+</sup> complex in 0.2 mol/L perchloric acid

### 2.3 工作曲线

注射用亚锡亚甲基二膦酸盐样品 100 mL水溶解后, MDP质量浓度约为 0.05 g/L,选择 MDP质量浓度分别为 0.02、0.04、0.05、0.06、0.08 g/L时建立标准曲线。在 5 个容量瓶中分

别加入0.50 mL 20 mmol/L三氯化铁溶液,分别加入 0.10、0.20、0.25、0.30、0.40 mL 1 g/L MDP标准品溶液,定容至 5 mL。以 0.2 mol/L 高氯酸溶液为空白,在波长 300 nm 处测定吸收值,建立标准曲线,结果示于图 4。

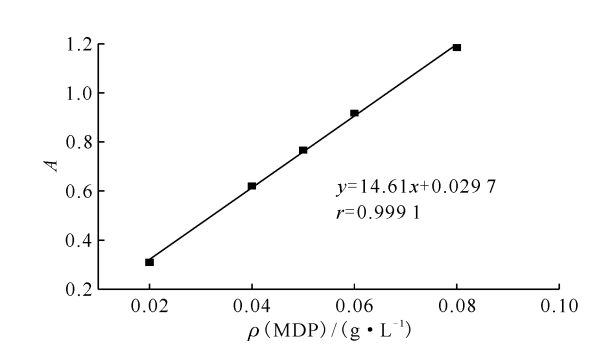


图 4 工作曲线
Fig. 4 Standard calibration curve
for determination of MDP

由图 4 结果可知,线性方程 y=14.61x+0.0297,相关系数 r=0.9991,结果表明 MDP 质量浓度在  $0.02\sim0.08$  g/L 范围内具有良好的线性。 **2.4** 注射用亚锡亚甲基二膦酸盐中其他组分的影响

按实验方法考察了冻干药盒中其他组分扩大 10 倍对测定结果的影响。结果列于表 1。由表 1 可知,在注射用亚锡亚甲基二膦酸盐样品中,氯化亚锡、抗坏血酸、氯化钠的量扩大 10 倍时 MDP 回收率为 99.3%~100.7%,测定结果相对误差均在±3%以内。

表 1 除 MDP 外其他组分扩大 10 倍的测定结果
Table 1 Determination results of other
components after tenfold increase

NI.	c(MDP)/(n	- 回收率/%	
No.	加入值	测量值	- 四収率//0
1	0. 284	0.286	100.7%
2	0.284	0.282	99.3%
3	0.284	0.284	100.0%

### 2.5 体系的稳定性

0.05 g/L MDP 与三氯化铁混合后放置90 min 进行测定,结果表明体系在90 min 内稳定。

#### 2.6 回收率

配制 MDP 标准品质量浓度为 0.04、0.05、0.06 g/L 的注射用亚锡亚甲基二膦酸盐全组分

样品,按本实验方法测定 MDP 含量,并与药典方法<sup>[6]</sup>对照,结果列于表 2。表 2 结果表明,本方法

测得的 MDP 回收率在  $98.8\% \sim 102.0\%$  之间,药 典法的回收率为  $103.9\% \sim 108.9\%$ 。

表 2 MDP 标准品加标回收实验 Table 2 Recovery of MDP by standard additions

	MDP						
No.	加入量/(g・L <sup>-1</sup> )	本方法		药典方法			
		测得值/(g•L <sup>-1</sup> )	回收率/%	测得值/(g•L <sup>-1</sup> )	回收率/%		
1	0.04	0.039 8	99. 6	0.0429	107.4		
2	0.04	0.040 5	100.0	0.0433	108.4		
3	0.04	0.039 5	98.8	0.043 5	108.9		
4	0.05	0.0512	102.0	0.053 6	107.1		
5	0.05	0.0508	101.7	0.0520	103.9		
6	0.05	0.050 5	101.0	0.0528	105.5		
7	0.06	0.0610	101.7	0.063 0	105.0		
8	0.06	0.0608	101.4	0.0628	104.7		
9	0.06	0.0607	101.1	0.0628	104.7		

### 2.7 样品测定

取注射用亚锡亚甲基二膦酸盐 6 瓶,分别用 5 mL 水溶解,按照实验方法进行测定,并与药典方法测定值进行比较,结果列于表 3。表 2 和表 3 实验结果表明,两种方法测定结果基本一致,但本实验方法  $(s_r = 0.97\%, n = 6)$  较药典方法  $(s_r = 3.93\%, n = 6)$  大缩短了测定时间和操作步骤,且具有更高的准确度和精密度。

表 3 本方法与药典方法比较(n=6)
Table 3 Comparison of results between this method and pharmacopoeia method(n=6)

方法名称	m(MDP	/0/	
万伝名称	标示量	测定平均含量	$s_{\rm r}/\sqrt{0}$
 药典法	5	4.94	3. 93
本实验方法	5	4.86	0.97

### 3 结 论

本工作建立的分光光度法测定亚甲基二膦酸盐的分析方法,样品仅需一次混合即可直接进行测定,相较于其他测定方法,特别是药典法,大大地缩短了测定时间和操作步骤,具有快速准确、操作简单、成本低等优点,可用于注射用亚锡亚甲基

二膦酸中 MDP 含量的快速、准确测定。

#### 参考文献:

- [1] Silov G, Erdoğan Z, Erdoğan M, et al. Tc-99m MDP bone SPECT/CT findings of a patient detected with a new mutation in LEMD3 gene: a case of osteopoikilosis[J]. Molecular Imaging and Radionuclide Therapy, 2018, 27(1): 48-51.
- [2] Cha H, Park S B, Kim H J. Focal increased Tc-99m MDP uptake in the nutrient foramen of the femoral diaphysis on bone SPECT/CT[J]. Nucl Med Mol Imaging, 2018, 52(2): 1-4.
- [3] 田珈瑜,荣晓凤. 锝[<sup>99</sup> Tc]亚甲基二膦酸盐注射液联合 DMARDs 治疗晚期类风湿关节炎的临床观察[J]. 中国药房, 2017, 28(2): 240-242.
- [4] 刘莎,张志毅,宫笑微,等. 免疫抑制剂配合锝亚甲基二膦酸盐注射液治疗 64 例类风湿关节炎临床研究[J]. 中外医学研究,2017,15(29):60-61.
- [5] 周东明,刘德国,侯振海.<sup>99</sup>得亚甲基二膦酸盐注射 液治疗老年骨质疏松性骨折和骨关节炎的临床研 究[J].中国临床药理学杂志,2017,33(19):1882-1885.
- [6] 国家药典委员会. 中华人民共和国药典[M]. 北京: 中国医药科技出版社,2015:1596.
- [7] 邢玉仁,刘金荣. HEDP 含量测定的研究[J]. 山东医 药工业,1997,16(2):17.
- [8] 包光林,李康龄,王守良,等. 羟基乙叉二磷酸的直

- 接滴定分析[J]. 化学试剂,1991,13(1):59-60.
- [9] 杨敏,胡名扬. 酸碱电位滴定法测定阿仑膦酸钠的 含量[J]. 国外分析仪器技术与应用,2000(4):65-67.
- [10] 蒋晔,张晓青,徐智儒,等. 唑来膦酸的电位滴定法测定[J]. 中国医药工业杂志,2005,36(1):37-38.
- [11] 张彦凯, 樊淑彦. 分光光度法测定阿仑膦酸钠片剂 含量[J]. 分析化学, 2000, 28(9):1181.
- [12] 尹光荣. 注射用亚锡亚甲基二膦酸盐冻干品中磷含量的快速测定[J]. 同位素,2008,32(3):169-172.
- [13] 王毓,杨婧,王海鹏,等. 大鼠尿液中阿仑膦酸钠的柱前衍生化 HPLC-UV 测定法及药动学应用[J]. 药物分析杂志,2017,37(5):832-838.
- [14] 戴河双,陈琴华,张燕,等. 衍生化高效液相色谱-紫外检测法测定阿仑膦酸钠和电喷雾离子阱质谱法分析 其衍生物[J]. 中国医院药学杂志,2015,35(1):61-65.
- [15] Peng S X, Dansereau S M. Iox-exchange liquis chromatographic analysis of bisphosphonates by ionline post-coumn ph105 otchemical reation and spec-

- trophotometric detection[J]. J Chromatogr A, 2001, 914: 105.
- [16] 黄进宝,葛高飞,吴涛.离子色谱法测定伊班膦酸钠 注射液主成分的方法探讨[J].安徽农业大学学报,2017,44(4);744-748.
- [17] 赵秀岩,王晓静,付博,等. 高效液相色谱法测定亚甲基二膦酸含量[J]. 同位素,2012,25(1):33-36.
- [18] 蒋晔,张晓青,徐智儒,等. 反相离子对色谱/蒸发光散射检测器分离唑来膦酸及其有关物质[J]. 分析化学,2005(10):1455-1458.
- [19] 张立峰,刘灿仿. 离子对 RP-HPLC 法测定利塞膦酸 钠原料药及其制剂的含量[J]. 中国药房,2013(41): 3912-3914.
- [20] Kuljanin J, Jankovič I, Nedeljkovič J, et al. Spectrophotometric determination of alendronate in pharmaceutical formulations via complex formation with Fe(∭) ions[J]. J Pharm Biomed Anal, 2002, 28(6): 1215-1220.